

УДК 547.546

**ПОЛИМОРФИЗМ 2,4,6-ТРИНИТРО-4'-ЙОДОДИФЕНИЛАМИНА****О.В. Михалев, И.В. Федягин\*, Б.Н. Тарасевич, И.Г. Ильина, К.П. Бутин**

(кафедра органической химии; e-mail: mov@org.chem.msu.ru)

**Найдены экспериментальные условия выделения четырех различноокрашенных полиморфных модификаций для автокомплекса пикрильного ряда – 2,4,6-тринитро-4'-йододифениламина. ИК-спектральным и рентгеноструктурным методами изучены закономерности внутри- и межмолекулярных взаимодействий в полученных полиморфных модификациях, одна из которых нецентросимметрична.**

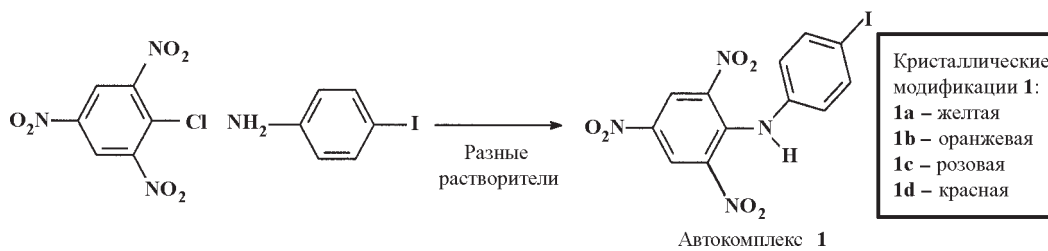
Исследование явления полиморфизма имеет фундаментальное значение для понимания общих принципов строения органических соединений [1, 2]. Склонностью к полиморфизму обладают и органические соединения с внутримолекулярным переносом заряда (ВПЗ), так называемые автокомплексы, молекулы которых содержат одновременно донорный и акцепторный фрагменты, связанные между собой изолирующей мостиковой группой. При этом мостик может иметь разную длину, а также различную природу составляющих его атомов, от этого значительно зависят как степень конформационной подвижности молекулы в целом, так и степень реализации ВПЗ в разных кристаллических структурах или формах. Обычно нагревание менее устойчивой формы приводит к переходу ее в более устойчивую без видимых признаков плавления, далее эта форма переходит уже в жидкость [3–4]. Известно, например, что нитропроизводные дифениламина могут существовать в виде нескольких, имеющих различную окраску, полиморфных кристаллических модификаций. Так, 2,4,6-тринитро-4'-йододифениламин выделен в виде трех кристаллических модификаций: желтой (**1a**), оранжевой (**1b**) и розовой (**1c**), имеющих разные температуры плавления [5]. Установлено также, что эти формы отлича-

ются и типом кристаллической упаковки. Так, форма **1b** образует нецентросимметричные кристаллы, в которых образующие ее молекулы имеют одинаковую геометрию, в то время как кристаллы форм **1a** и **1c** образованы молекулами двух конфигураций. Однако авторы лишь кратко описывают условия взаимопревращения разных кристаллических форм, не приводя условий их получения. С нашей точки зрения, представляет интерес изучение условий выделения соединения **1** в той или иной кристаллической модификации и исследование каждой из них разными физико-химическими методами. Этой проблеме и посвящена настоящая работа.

**Экспериментальная часть**

Автокомплекс **1** (схема) получали посредством реакции нуклеофильного замещения хлора в пикрилхлориде под действием *пара*-йоданилина.

В качестве растворителей применяли смеси ацетона с водой (в отношении 10:1), спирта с водой (в отношении 10:1) в присутствии  $\text{Na}_2\text{CO}_3$ , ацетона с уксусной кислотой (в отношении 10:1) или чистый  $\text{CH}_3\text{CN}$ . Реакционную смесь нагревали до кипения в течение 10 мин, охлаждали, а выпавший кристаллический осадок отделяли фильтрованием. Во всех

**Схема**

\*ИНЭОС РАН. 119991, Москва, ГСП-1, В-334, ул. Вавилова, 28.

Таблица 1

## Полиморфные формы автокомплекса 1, их получение, обозначение и температуры плавления

Шифр осадка	Растворитель для кристаллизации, (температура, °C)	Состав осадка после перекристаллизации	Окраска после перекристаллизации	$T_{\text{пл}}$ , °C (наши данные)	$T_{\text{пл}}$ , °C [5]
<b>A</b>	Ацетон–вода 10:1	<b>1a</b> (главный) <b>1b</b> (минорный)	желтый	172–185* 187	185,5 181
<b>B</b>	Ацетон–спирт 1:1 (50)	<b>1b</b> <b>1c</b> (1:1)	желто–розовый	187 190,5	181 191
<b>B</b>	Спирт (70)	<b>1b</b> (плоские ленты)	оранжево–желтый	187	181
<b>B</b>	MeCN	<b>1b</b> (иглы)	оранжево–желтый	187	181
<b>B</b>	CHCl <sub>3</sub> –спирт 1:1 (50)	<b>1c</b> (главный) <b>1a</b> (минорный)	оранжево–розовый	190,5	191 185,5
<b>B</b>	Толуол (100)	<b>1c</b> (главный) <b>1a</b> (минорный)	оранжевый	190,5 172–185*	191 185,5
<b>B</b>	Толуол (0)	<b>1a</b> (иглы)	желтый	172–185*	185,5
<b>B</b>	Спирт (0)	<b>1a</b> (плоские иглы)	желтый	172–185*	185,5
<b>B</b>	Ацетон–спирт 1:1	<b>1b</b> (плоские иглы)	оранжево–желтый	187	181
	Кристаллизация расплава	<b>1d</b> (кристаллическая масса)	красный	135–145*	—

\*Даны температурные интервалы для фазовых переходов.

выбранных для синтеза системах растворителей цвета выделяемых осадков были разными, и они, как правило, состояли из нескольких полиморфных модификаций. Из смеси ацетон–вода (10:1) выделяли желтый осадок **1a** с примесью **1b** (смесь А), из смеси спирт–вода (10:1) с Na<sub>2</sub>CO<sub>3</sub> – оранжево–желтый осадок **1b** с примесью **1a** и **1c** (смесь Б), из ацетона с уксусной кислотой (10:1) – оранжевый осадок **1c** с примесью **1b** (смесь В), и, наконец, из ацетонитрила – оранжево–желтый осадок **1b**. Кристаллы, отличающиеся по цвету, были разделены механическим путем под лупой и использовались для дальнейших исследований. Выделенные смеси кристаллов были подвергнуты последующей перекристаллизации из разных растворителей, в том числе из смешанных при разных температурах. Эти результаты представлены в табл. 1. Перекристаллизованные образцы, также как и механически разделенные смеси кристаллических форм, были использованы для дальнейших исследований.

ИК-спектры регистрировали на спектрометре с преобразованием Фурье “IR 200” (“ThermoNicolet”). Пробы для регистрации готовили в виде таблеток с KBr в вазелиновом масле.

## Результаты и их обсуждение

По нашим наблюдениям в отличие от литературных данных [5] желтая форма **1a** не имеет четкой температуры плавления ( $T_{\text{пл}}$ ), а в интервале 172–185°C необратимо переходит в розовую форму, при этом до температуры 172°C никаких видимых изменений в цвете или структуре образца этой формы не наблюдается. Форма **1b** плавится при более высокой, чем это указано в литературе, температуре (табл. 1), при этом ее окраска выше 170°C постепенно углубляется вплоть до момента плавления. Форма **1c** – единственная, температура плавления которой практически совпадает с литературными данными и равна 190,5°C. Отметим, что эта форма **1c** обладает аномальными термомеханическими свойствами. Так, при температуре 135–145°C ее кристаллы претерпевают самопроизвольное растрескивание до состояния порошка.

Нами получена еще одна кристаллическая форма **1d** ярко–красного цвета, которая, как и желтая форма **1a**, претерпевает в твердом виде фазовый переход, но в другом температурном интервале – 135–145°C, превращаясь в розовую форму **1c**. Форма **1d** получается только при медленной кристаллизации стеклооб-

разного переохлажденного расплава в температурном интервале от 20 до 100°C. Суммируя, можно сказать, что формы **1(a–c)**, хотя и с оговорками, эквивалентны соответственно желтой, оранжевой и розовой формам, описанным в литературе [5], в то время как форма **1d** (красная) в литературе не известна.

Состав, строение и молекулярная структура рассматриваемых модификаций изучены с помощью ИК-спектроскопии и РСА. Так, в ИК-спектрах, измеренных в широком спектральном диапазоне 400 – 4000  $\text{cm}^{-1}$ , наблюдаются валентные колебания N–H-, C–H-связей и нитрогрупп.

Валентные колебания N–H-связи, согласно литературным данным [6], обычно проявляющиеся в области 3350–3250  $\text{cm}^{-1}$ , наблюдаются для всех форм, однако положение соответствующих максимумов поглощения различно, а в области валентных колебаний C–H-ароматических связей в разных формах проявляется разное число полос (табл. 2).

Данные рентгеноструктурного анализа (РСА), выполненные для трех форм **1(a–c)** (кристаллы формы **1d**, пригодные для РСА, пока получить не удалось), показали, что, хотя эти формы различны и представляют собой индивидуальные полиморфные модификации, тем не менее молекулярная геометрия в трех формах различается незначительно (рис. 1). В каждой из них соединение **1** имеет разные элементарные ячейки и несколько отличные конформационные

параметры (табл. 3). Как было показано в наших более ранних работах [7–9] на примере пикрильных производных с другими донорными фрагментами, для автокомплексов этого типа характерна конформация со значительным разворотом донорного и акцепторного фрагментов относительно мостикового атома азота. Связь N(1)–C(7) в отличие от связи N(1)–C(4) укорочена, что указывает на наличие некоторого сопряжения между атомом азота N(1) и акцепторным фрагментом. Все три нитрогруппы выведены из плоскости кольца акцептора на различные углы, при этом одна из *o*-нитрогрупп образует внутримолекулярную водородную связь (BBC) с протоном мостика, в то время как другая *o*-нитрогруппа имеет укороченный контакт с донорным кольцом, т.е. эта *o*-нитрогруппа, несмотря на заметную непараллельность плоскости донорного фрагмента, пространственно с ним сближена, что дает возможность реализоваться ВПЗ по контактному типу. Наряду с этим *n*-нитрогруппа находится практически в плоскости акцепторного фрагмента, что способствует реализации переноса заряда лишь по цепи сопряжения.

Поскольку РСА из-за наличия в молекуле **1** атома йода не позволяет точно локализовать положение протона H(1) и тем самым определить длину связи N(1) – H(1), то это приводит к определенным трудностям в однозначной трактовке силы BBC в разных

Таблица 2

Отнесение частот валентных колебаний некоторых групп в ИК-спектрах полиморфных форм **1** согласно [6]

Полосы	Желтая <b>1a</b>	Оранжевая <b>1b</b>	Розовая <b>1c</b>	Красная <b>1d</b>
Валентные NH	3264	3276	3306 3311	3327
Валентные CH (ароматические)	3089	3073	3065 3093	3063 3086 3110
Антисимметричные валентные NO <sub>2</sub>	1624 1591 1540 1518 1509 1481	1621 1589 1535 1518 1483	1620 1592 1550 1529 1510 1484	1616 1590 1536 1500 1436
Симметричные валентные NO <sub>2</sub>	1349 с 1337 сл 1293	1360 сл 1337 с 1288	1352 1330 сл 1308 1290	1351 1328 1292

Таблица 3

## Основные кристаллографические параметры полиморфных модификаций 1(а-с)

Параметры элементарной ячейки	Желтая, 1а	Оранжевая, 1б	Розовая, 1с
Общая формула	C <sub>12</sub> H <sub>7</sub> IN <sub>4</sub> O <sub>6</sub>	C <sub>12</sub> H <sub>7</sub> IN <sub>4</sub> O <sub>6</sub>	C <sub>12</sub> H <sub>7</sub> IN <sub>4</sub> O <sub>6</sub>
<i>a</i> E	20,684(6)	5,133(1)	14,076(2)
<i>b</i> E	5,064(1)	12,102(1)	5,774(1)
<i>c</i> E	13,503(4)	22,457(3)	18,321(3)
β, град	99,771(6)	α = β = c = 90°	112,475(3)
<i>V</i> , см <sup>3</sup>	1394,0(7)	1395,1(4)	1375,9(4)
Плотность ( <i>d</i> <sub>выч</sub> , г/см <sup>3</sup> )	2,049	2,048	2,076
Кристаллическая система	Моноклинная	Орторомбическая	Моноклинная
Пространственная группа симметрии	<i>P</i> 2 <sub>1</sub> /c	<i>P</i> 2 <sub>1</sub> 2 <sub>1</sub> 2 <sub>1</sub>	<i>P</i> 2 <sub>1</sub> /c
Число молекул в элементарной ячейке, <i>Z</i>	4	4	4
<i>R</i> -фактор	0,0458	0,0433	0,0322
Угол ( <i>D/A</i> )	110,9	109,2	115,7
O(3) – N(1)	2,612	2,654	2,614

\*Расстояние N(1)–H(1) нормировано на идеальное рентгенографическое расстояние 0,96 .

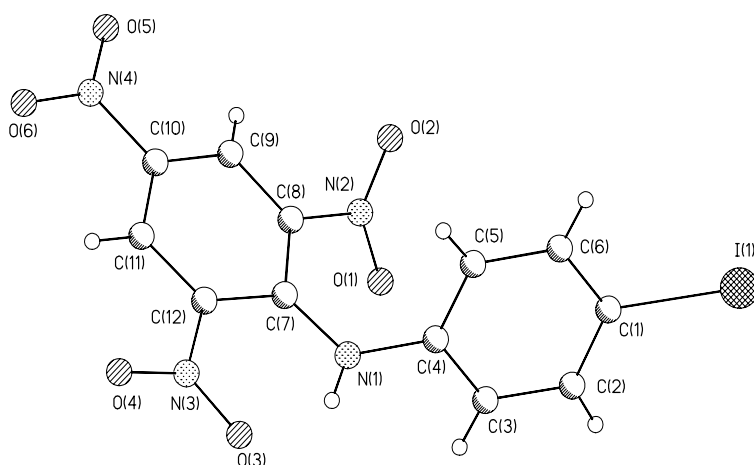


Рис. 1. Общий вид и нумерация атомов в молекуле автокомплекса 1 по данным РСА

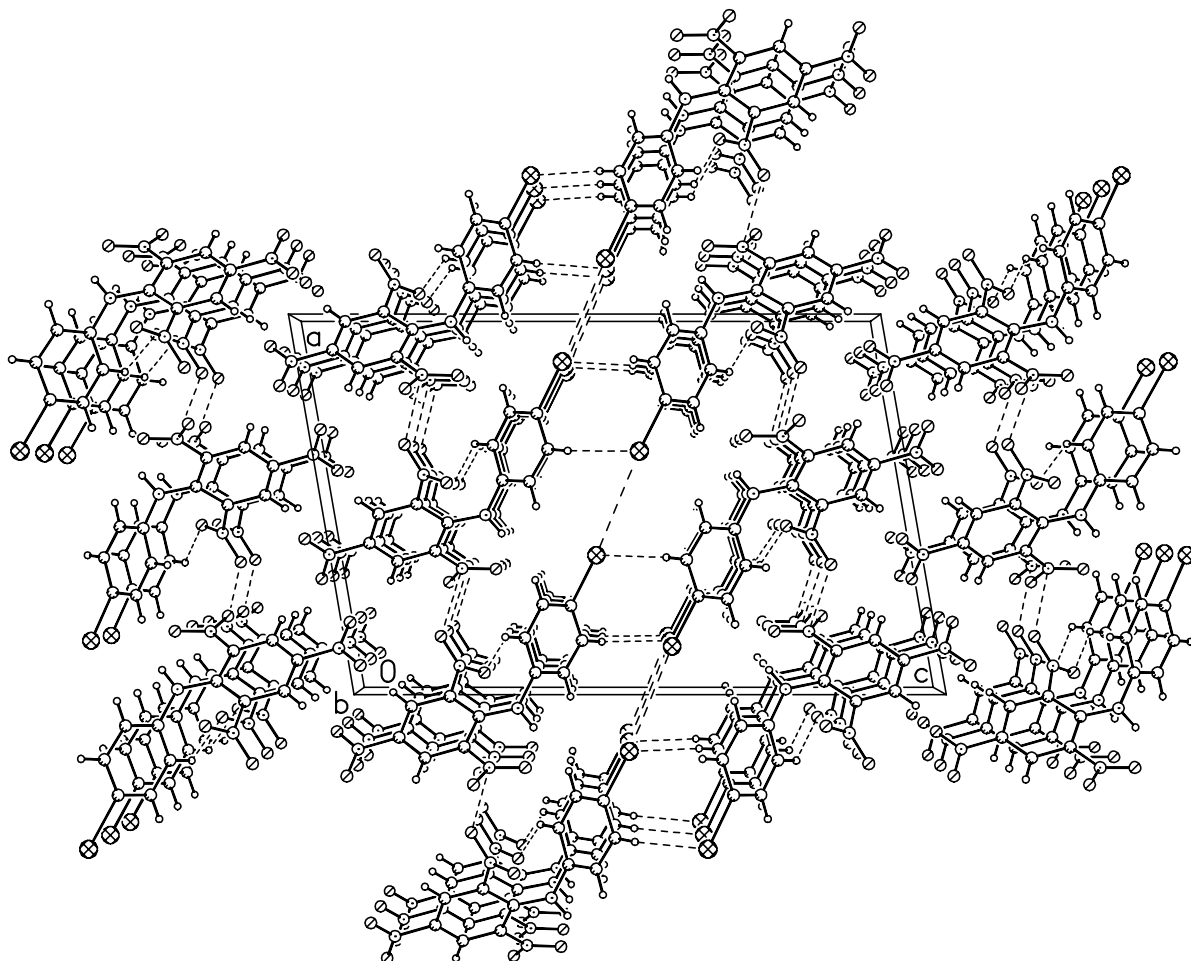


Рис. 2. Желтая форма **1а**. Общий вид мотива упаковки и содержимого элементарной ячейки (пунктиром обозначены наиболее значимые внутри- и межмолекулярные контакты)

формах автокомплекса **1**, если исходить только из данных этого метода.

Вместе с тем данные РСА показывают, что в изучаемых формах **1(a-d)** наряду с ВВС реализуется и различного типа межмолекулярные водородные связи, затрагивающие в том числе и мостиковый атом азота N(1). Не исключено, что данное взаимодействие может быть причиной сложного характера полос валентных колебаний NH- и CH-групп в ИК-спектрах. Например, в ИК-спектрах форм **1а** и **1б** наблюдаются достаточно интенсивные полосы валентных колебаний CH соответственно при 3089 и 3072  $\text{cm}^{-1}$ . В ИК-спектре формы **1с** имеются две полосы (3064 и 3093  $\text{cm}^{-1}$ ), а **1д** – три полосы более низкой интенсивности (3063, 3086 и 3110  $\text{cm}^{-1}$ ). При этом следует отметить, что одна из полос в ИК-спектре **1д** (3063  $\text{cm}^{-1}$ ) практически совпадает с полосой 3064  $\text{cm}^{-1}$  формы **1с**, а полоса при 3086  $\text{cm}^{-1}$  близка по положению максимума (3089  $\text{cm}^{-1}$ ) к полосе CH-колебаний

формы **1а** и не очень сильно отличается от второй из CH-полос (при 3093  $\text{cm}^{-1}$ ) формы **1с**.

Отмеченные ИК-спектральные различия могут быть обусловлены также возможностью образования смешанных димерных межмолекулярных структур различного типа, что согласуется с данными РСА (рис. 2–4). Результаты более подробного изучения этого вопроса и сравнительного исследования силы ВВС, реализуемой в разных формах данного автокомплекса, будут подробно изложены в следующем полном сообщении.

## Выводы

Совокупность полученных нами данных позволяет сделать вывод о том, что соединения, относящиеся к типу автокомплексов, способны к образованию нескольких, различающихся типом кристаллической упаковки структур, в каждой из которых молекулы отличаются не только конформационно, но и наличием

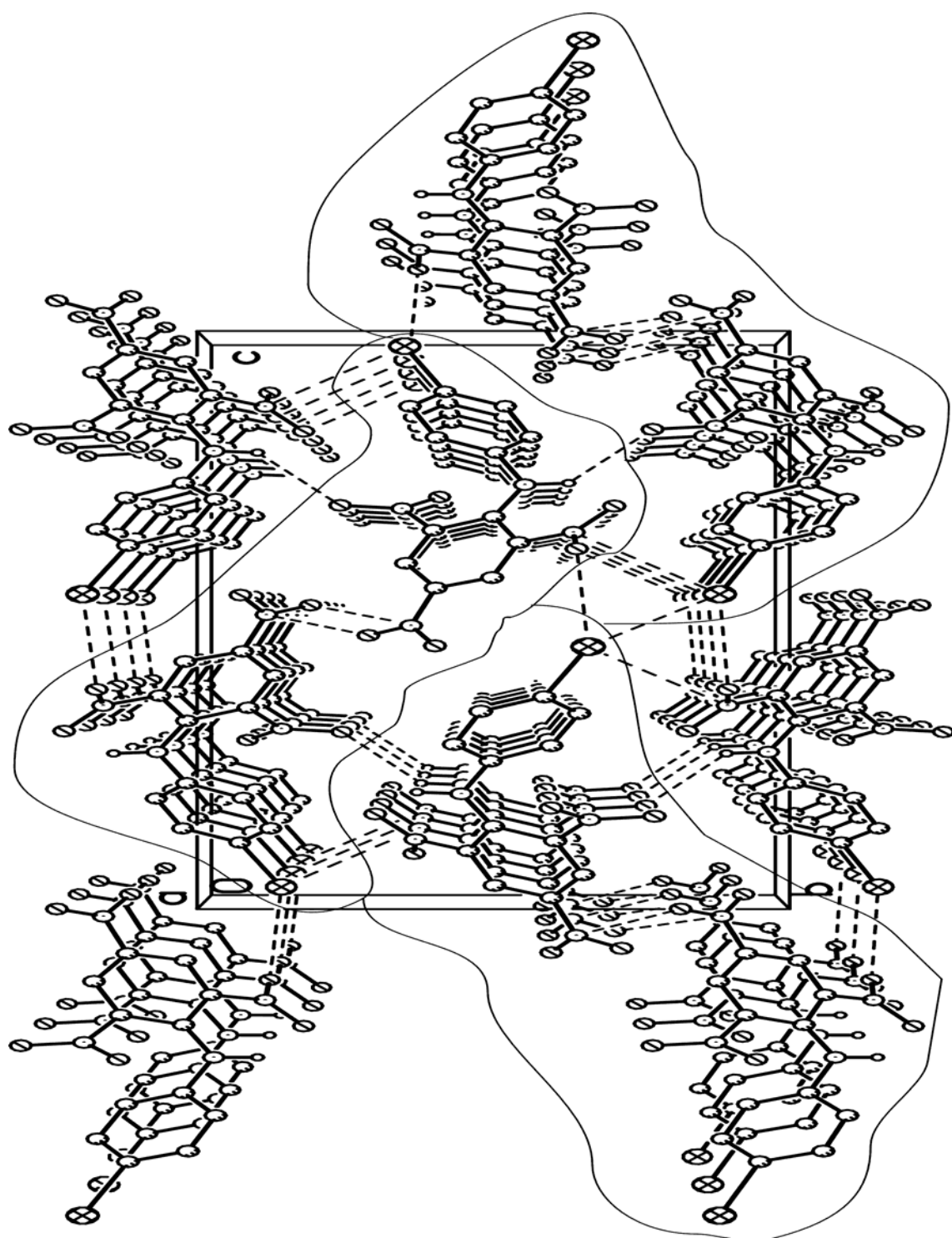


Рис. 3. Оранжевая форма **1b**. Общий вид мотива упаковки и содержимого элементарной ячейки (пунктиром обозначены наиболее значимые внутри- и межмолекулярные контакты)

определенного набора взаимодействий как внутри-, так межмолекулярных, совокупность которых в свою

очередь и стабилизирует в целом ту или иную кристаллическую форму данного соединения [10–11].

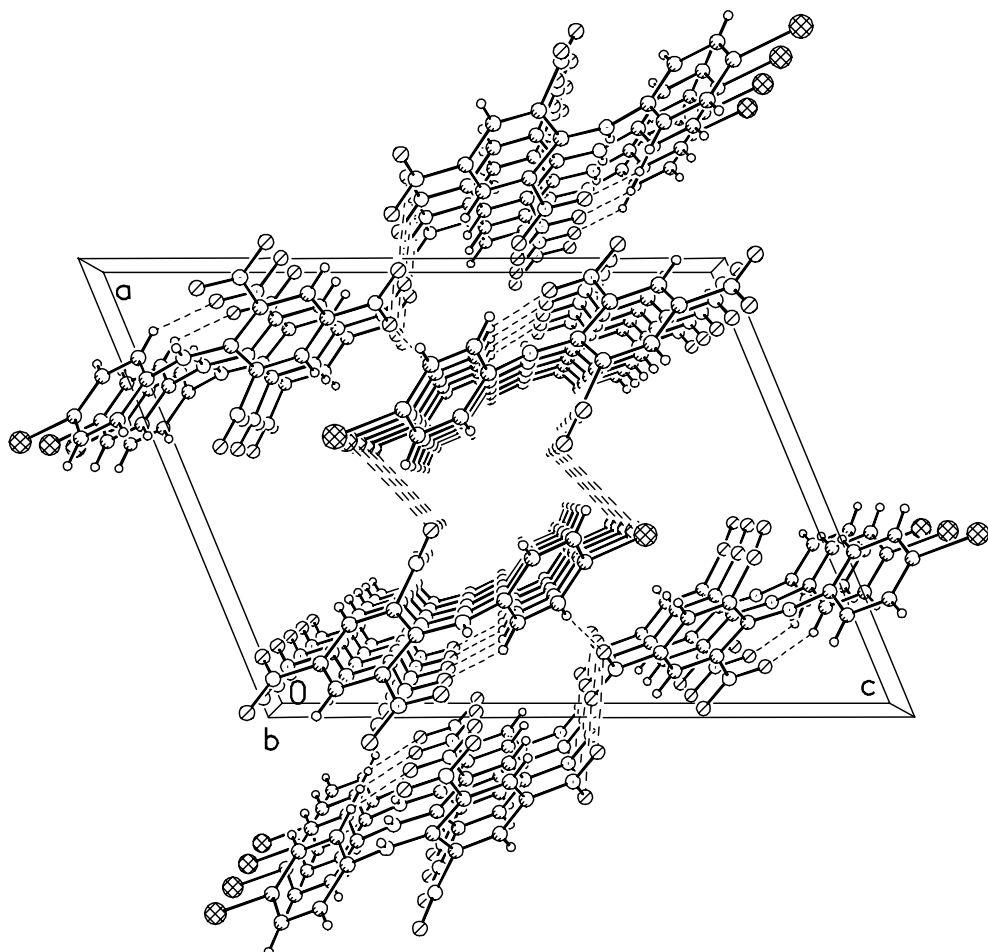


Рис. 4. Розовая форма 1с. Общий вид мотива упаковки и содержимого элементарной ячейки (пунктиром обозначены наиболее значимые внутри- и межмолекулярные контакты)

Работа выполнена при частичной финансовой поддержке гранта РФФИ 04-03-32845.

#### СПИСОК ЛИТЕРАТУРЫ

1. Леонидов Н.Б. // РХЖ . 1997. **XLI**. № 5. С. 10.
2. Ouvrard C., Price S.L. // Crystal Growth & Design. 2004. **4**. Р. 1120
3. Фрейманис Я.Ф. Органические соединения с внутримолекулярным переносом заряда. Рига, 1985.
4. Stephenson Yu.L., Mitchell G.A., Bunnell C.A. et al. // J. Am. Chem. Soc. 2000. **122**. Р. 585.
5. Grison P.E. // Acta Crist. 1949. **2**. N 6. Р. 410.
6. Беллами Л. Инфракрасные спектры сложных молекул. М., 1963. С. 355, 421.
7. Гридуниова Г.В., Шкловер В.Е., Стрючков Ю.Т. и др. // Кристаллография. 1989. **34**. № 1. С. 87.
8. Гридуниова Г.В., Петров В.Н., Стрючков Ю.Т. и др. // Кристаллография. 1990. **35**. № 1. С. 59.
9. Гридуниова Г.В., Петров В.Н., Стрючков Ю.Т. и др. // Кристаллография. 1990. **35**. № 1. С. 54.
10. Чехлов А.Н. // ЖСХ. 2005. **46**. С. 521.
11. Чехлов А.Н. // ЖСХ. 2005. **46**. С. 585.

Поступила в редакцию 03.10.06

#### POLYMORPHISM OF 2,4,6-TRINITRO-4'-IODODIPHENYLAMINE

O.V. Mikhalev, I.V. Fedyanin, B.N. Tarasevich, I.G. Ilyina, K.P. Butin

(Division of Organic Chemistry)

The experimental conditions of preparation for four differently coloured polymorphic modifications of the autocomplex of picrylic type – 2,4,6-trinitro-4'-iododiphenylamine have been found. Intra- and intermolecular interactions in polymorphic modifications were investigated by means of IR-spectroscopic and X-ray methods. One modification – orange is noncentrosymmetric.